表面形状を考慮した並列円柱のウェイク振動発生機構に関する研究

京都大学大学院工学研究科 学生員 〇下田 拓也 日本工営株式会社 移山*) 正会員 袁 京都大学大学院工学研究科 正会員 野口 恭平

京都大学大学院工学研究科 正会員 八木 知己 一平 神鋼鋼線工業株式会社 正会員 榊

*) 研究当時京都大学大学院生

1. はじめに

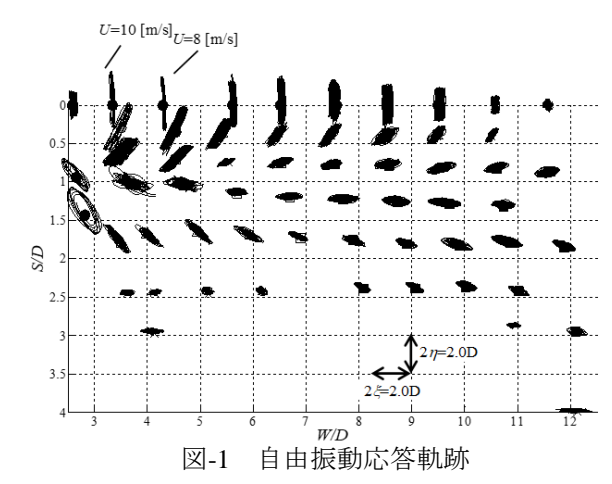
斜張橋のケーブルのように、複数の円柱が並列に配 置された構造物ではウェイク振動が発生する. ウェイ ク振動は発生機構によって,1自由度鉛直フラッターと 2 自由度連成フラッターに分類される. ウェイク振動の 発生機構についての研究は数多く為されてきたが、未 解明な点も数多く残されている. そのため本研究では、 制振効果が期待される,スパイラル突起付き円柱1)を並 列円柱に用いた際の,振動の安定化や不安定化に寄与 する因子を下流側模型に作用する非定常空気力及び並 円柱間の流れ場から調べ、並列2円柱におけるウェイ ク振動発生機構の解明を試みた.

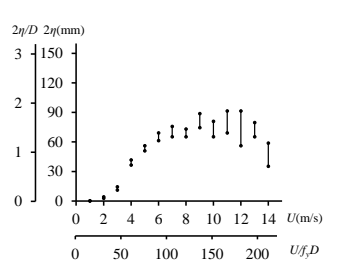
2. 自由振動応答特性

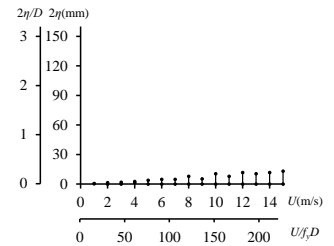
袁ら 2)が行った並列 2 円柱模型の自由振動応答実験 について, 無次元風速 U/fD=177.8(風速 U=12m/s, 円柱 の固有振動数 *f*=1.35Hz, 円柱直径 *D*=50mm)における下 流側模型の応答軌跡を図-1 に示す. 下流側模型の中心 位置は,有風時の静的変位を考慮し,上流側模型の中心 位置から水平方向 W, 鉛直方向 S で, また時間平均位 置からの水平・鉛直変位を ξ , η で表す。2 円柱の配置 によって鉛直卓越または2自由度連成振動が発生した.

この結果から、スパイラル突起付き円柱を用いた際 の振動応答の変化を調べた. スパイラル突起付き円柱 は既往の研究 1)を参考に、スパイラル突起の巻き付け角 27 度, 本数 12 本, 突起高さ 1.5mm, 幅 2.4mm とした. ここでは特に, (W/D, S/D) = (7,0), (3,0.5), (7,2)の配置に 着目し,考察を行う. 突起の有無による応答特性と空気 力特性の差異を検討するため、2円柱共にスパイラル突 起付きの場合に加え, 片側のみスパイラル突起付きの 場合も検討した. 無風時の下流側模型中心位置を上流 側模型中心位置から水平方向 X, 鉛直方向 Y で表す.

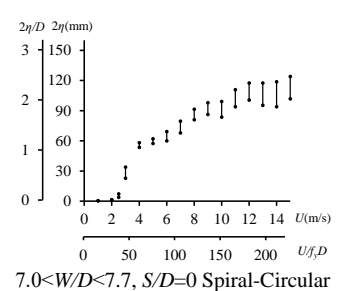
1 自由度鉛直フラッターの発生する X/D=7,Y/D=0 で の振動応答を図-2に示す.このケースでは上流側のみ







7.0<W/D<7.4, S/D=0 Circular-Circular 7.0<W/D<7.5, S/D=0 Circular-Spiral



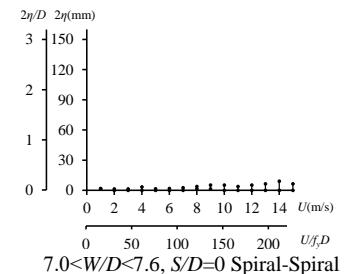


図-2 自由振動応答の風速-振幅図 (X/D=7.Y/D=0)

スパイラル突起付きとすると,下流側模型の振動応答 は不安定化し、下流側をスパイラル突起付きとすると 振動が抑制されたが、配置によって様々な応答が見ら れた. このように、スパイラル突起付き円柱を用いる 事で応答が変化する理由を以降の実験から考察する.

3. 乱れ強度測定実験

単独で存在する円柱模型とスパイラル突起付き円柱 模型の後流域の乱れ強度を測定した結果を図-3 と図-4 に示す. 1 自由度鉛直フラッターの発生する W/D=7.

キーワード ウェイク振動,フラッター,スパイラル突起,カルマン渦,乱れ強度

連絡先 〒615-8540 京都市西京区京都大学桂 京都大学工学研究科社会基盤工学専攻 Tel 075-383-3244

S/D=0 と W/D=3, S/D=0.5 では、上流側のみスパイラル 突起付きにすると振動が不安定化する.この時、下流側 模型位置の乱れ強度が小さくなることから、乱れが 1 自由度鉛直フラッターを抑制すると考えられる.

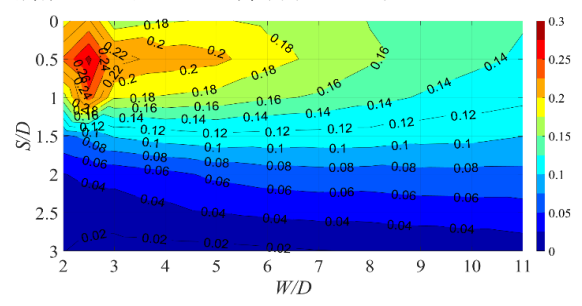


図-3 円柱後流域の乱れ強度分布

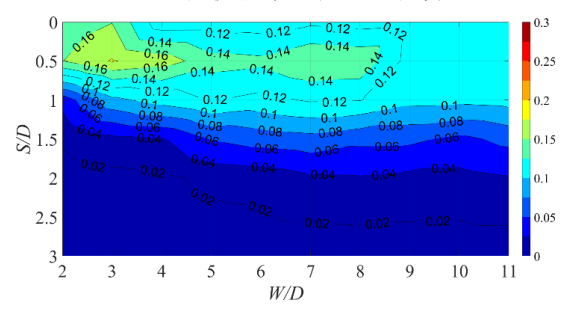


図-4 スパイラル突起付き円柱後流域の乱れ強度分布

4. 非定常空気力測定実験

下流側模型に作用する非定常空気力を 1 自由度強制 加振実験から求めた. 非定常空気力は, 8 つの非定常空 気力係数を用いて次のように表される.

$$Lift = \frac{1}{2}\rho DU^{2} \left(kH_{1}^{*} \frac{\dot{\eta}}{U} + k^{2}H_{4}^{*} \frac{\eta}{D/2} + kH_{5}^{*} \frac{\dot{\xi}}{U} + k^{2}H_{6}^{*} \frac{\xi}{D/2} \right)$$
(1)

$$Drag = \frac{1}{2} \rho DU^{2} \left(k P_{1}^{*} \frac{\dot{\eta}}{U} + k^{2} P_{4}^{*} \frac{\eta}{D/2} + k P_{5}^{*} \frac{\dot{\xi}}{U} + k^{2} P_{6}^{*} \frac{\xi}{D/2} \right)$$
 (2)

2 自由度連成フラッターの発生する W/D=7, S/D=2 では、非定常揚力の水平速度比例成分である H_5* が、正の大きな値になることでフラッターが発生する 2 . このケースにおいて、加振 10 周期毎に求めた H_5* の時刻歴を図-5 に示す。図中の青線は H_5* の値を示しており、加振 1 周期毎に得られた H_5* をアンサンブル平均することで求めた、点線は H_5* の値に加振 1 周期毎に求めた H_5* の 標準偏差を加えたものである。スパイラル突起付き円柱を上流側や下流側の模型に用いると、加振 10 周期毎に求めた H_5* の変動が非常に小さくなり、正の大きな値になる瞬間も減少することで振動が安定化することが分かった。したがって、スパイラル突起付き円柱はカルマン渦を抑制することが既往の研究 1)から判明しており、カルマン渦の抑制に伴い 2 自由度連成フラッター

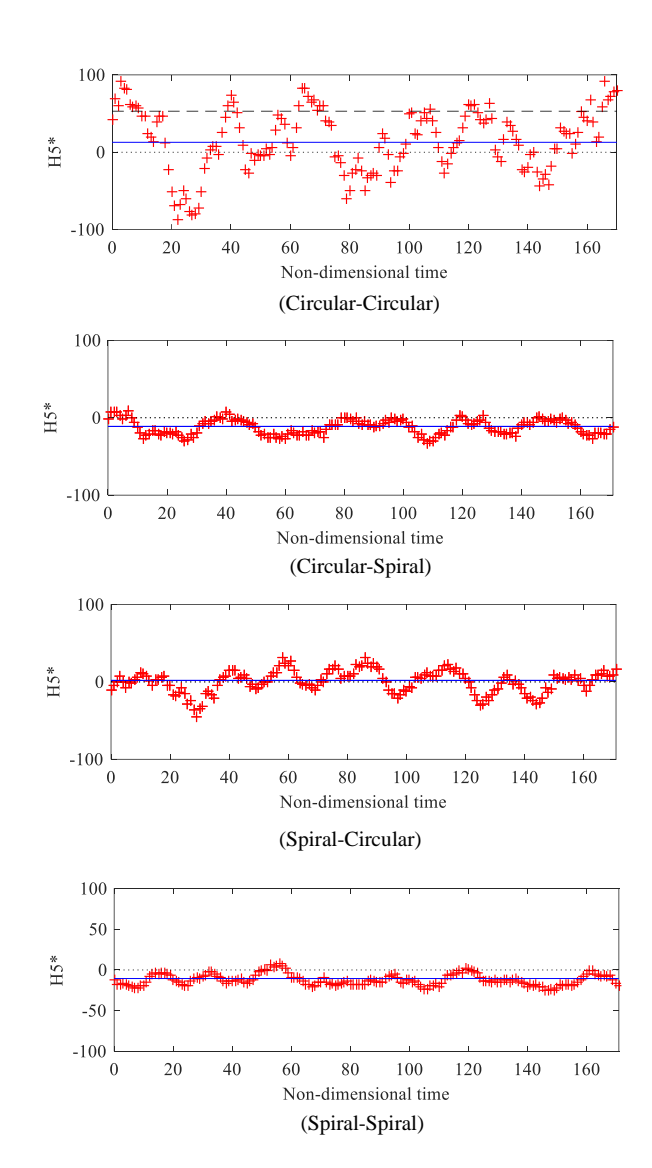


図-5 加振 10 周期毎に求めた H_5 *の時刻歴 (W/D=7, S/D=2, U/fD=182, $2\xi/D=0.4$)

が安定化したものと考えられる. すなわち, 図-1 で見られた, 突起なし 2 円柱で発生する 2 自由度連成フラッターは, カルマン渦によって下流側模型に作用する連成空気力が変動することが, 発生要因だと推測される.

5. 結論

- 1) 上流側模型からの乱れが1自由度鉛直フラッターを抑制する効果があることが判明した.
- 2) 非定常な2自由度連成フラッターは、下流側模型 に作用する連成空気力が、上流側模型から放出さ れるカルマン渦によって変動することで発生する ことが示唆された。

参考文献

1)八木ら:第21回風工学シンポジウム論文集,263-268,2010

2)袁ら:平成 29 年度日本風工学年次研究発表会梗概集, 175-176, 2017